



Министерство науки и высшего образования Российской Федерации  
федеральное государственное бюджетное образовательное учреждение  
высшего профессионального образования  
«Московский государственный технический университет имени  
Н.Э. Баумана (национальный исследовательский университет)»  
(МГТУ им. Н.Э. Баумана)

ФАКУЛЬТЕТ «Робототехники и комплексной автоматизации»  
КАФЕДРА «Системы автоматизированного проектирования (РК-6)»

## ОТЧЕТ О ВЫПОЛНЕНИИ ЛАБОРАТОРНОЙ РАБОТЫ по дисциплине «Вычислительная математика»

Студент:	Новокшанов Евгений Андреевич
Группа:	РК6-56Б
Тип задания:	лабораторная работа
Тема:	LU-разложение

Студент

\_\_\_\_\_  
подпись, дата

Новокшанов Е.А.  
Фамилия, И.О.

Преподаватель

\_\_\_\_\_  
подпись, дата

\_\_\_\_\_  
Фамилия, И.О.

Москва, 2022

## Содержание

<b>LU-разложение</b>	<b>3</b>
Задание	3
Цель выполнения лабораторной работы	4
1    Базовая часть	4
Пункт №1: Разработка функции для LU-разложения	4
Пункт №2: Разработка функции для вычисления решения СЛАУ	5
Пункт №3: Решение СЛАУ с помощью разработанных функций	5
2    Продвинутая часть	5
Пункт №1. Доказательство необходимости перестановки при решении СЛАУ методом Гаусса.	5
Пункт №2,3,4: Программная реализация решения СЛАУ с возможностью частичного выбора главного элемента	6
Пункт №5: Доказательство, что модифицированная и не модифицированная СЛАУ имеют одинаковое решение	8
Пункт №6: Решение модифицированной СЛАУ с частичным выбором главного элемента и без него	10
Пункт №7: График зависимости относительной погрешности вычисления $E$ от $p$	11
Заключение	13

Дана СЛАУ  $A_1x = b_2$ :

Дана СЛАУ  $A_2x = b_2$ :

Требуется (базовая часть):

- Требуется (продвинутая часть):

1. Доказать, что для решения СЛАУ (2) необходимо на определенной итерации метода Гаусса произвести перестановку строк.
2. Модифицировать функцию `lu(A, permute)` так, чтобы она принимала аргумент `permute` и возвращает матрицы  $L$ ,  $U$  и  $P$ . Если `permute=True`, то LU-разложение должно происходить с частичным выбором главного элемента, а возвращаемая матрица  $P$  при этом должна быть соответствующей матрицей перестановок. Если `permute=False`, то частичного выбора происходить не должно, а возвращаемая матрица  $P$  должна быть единичной.
3. Модифицировать функцию `solve(L, U, P, b)` так, чтобы она принимала на вход аргумент  $P$  и возвращала решение СЛАУ  $Ax = b$ , где матрица  $A$  представлена в виде LU-разложения с матрицей перестановок  $P$ , т.е.  $PA = LU$ .
4. Найти решение СЛАУ (2) с помощью разработанной функции `solve(L, U, P, b)`, обозначаемое здесь и далее  $\hat{x}$ .
5. Доказать, что модифицированная СЛАУ, полученная с помощью добавления к элементам  $a_{11}$  и  $b_1$  СЛАУ (2) малого числа  $10^{-p}$ , где  $p$  – произвольное целое число, имеет то же решение, что и исходная СЛАУ. Здесь и далее решение модифицированной СЛАУ будет обозначаться как  $\tilde{x}$ .

6. С помощью разработанных функций `lu(A, permute)` и `solve(L, U, P, b)` найти решения модифицированной СЛАУ для  $p \in [0; 12]$  для двух случаев:
  - без частичного выбора главного элемента,
  - с частичным выбором главного элемента.
7. Для обоих случаев построить log-log график зависимости относительной погрешности вычисления  $E = \frac{\|\hat{x} - \tilde{x}\|_\infty}{\|\hat{x}\|_\infty}$  от  $p$ . Проанализировав полученные результаты, сделайте подробный вывод о вычислительной устойчивости/неустойчивости решения СЛАУ с помощью LU-разложения для конкретного рассматриваемого случая и опишите, что нужно в этом контексте иметь в виду потенциальному пользователю ваших функций `lu(A, permute)` и `solve(L, U, P, b)`.

## Цель выполнения лабораторной работы

Исследование вычислительной устойчивости LU-разложения.

### 1 Базовая часть

Лабораторная работа была выполнена на языке Python3.9 с использованием библиотек `matplotlib` версии 3.6.0 и `numpy` версии 1.23.3.

#### Пункт №1: Разработка функции для LU-разложения

LU-разложение представляет собой разложение известной матрицы  $A$  на две треугольные матрицы  $L$  и  $U$ . Данное разложение возможно для любой невырожденной матрицы  $A$ . Программная реализация алгоритма LU-разложения представляет собой преобразование матрицы  $C$  равной матрице  $A$ . На каждой  $i$ -й итерации:

1. Каждый  $C_{ji}$  элемент делится на элемент главной диагонали  $C_{ii}$ , при  $j > i$ ;
2. Из каждого  $C_{jk}$  элемента, находящегося ниже  $i$ -й строки и правее  $i$ -го столбца вычитается произведение  $C_{ji}C_{ik}$ .

В результате выполнения алгоритма получается матрица  $C = L + U - E$ , т.е. объединение 2-х треугольных матриц в одной. Функция `lu(A)` является программной реализацией алгоритма приведенного выше и приводится в Листинге 1.

Листинг 1. Программная реализация разложения матрицы  $A$  на матрицы  $L$  и  $U$

```

1 def lu(A):
2     n = len(A)
3     C = np.array(A.copy())
4     for i in range(n):
5         for j in range(i+1, n):
6             C[j][i] /= C[i][i]
7         for k in range(i+1, n):
8             C[j][k] -= C[j][i] * C[i][k]
```

```

9  U = np.triu(C)
10 L = np.tril(C, -1)
11 return L, U

```

---

## Пункт №2: Разработка функции для вычисления решения СЛАУ

Полученные матрицы  $L$  и  $U$  из первого пункта мы используем для решения СЛАУ  $LUx = b$ . Для этого разработана функция `solve(L, U, b)`. Функция рассчитывает итоговый столбец  $x$  по следующему алгоритму:

1. Пусть  $y = Ux$ . Тогда получаем 2 СЛАУ:  $Ly = b$  и  $y = Ux$ .
2. Решаем первую СЛАУ:  $Ly = b$ .
3. Найденное решение  $y$  подставляем во вторую СЛАУ и находим решение:  $Ux = y$ .
4. Выводим  $x$ .

---

Листинг 2. Программная реализация решения СЛАУ с помощью LU-разложения

---

```

1 def solve(L, U, b):
2     n = len(b)
3     X = np.array([0. for i in range(n)])
4     Y = np.array([0. for i in range(n)])
5     for i in range(n):
6         Y[i] = b[i] - sum([L[i][k] * Y[k] for k in range(i)])
7     for i in range(n):
8         X[n-i-1] = (Y[n-i-1] - sum([U[n-i-1][n-k-1] * X[n-k-1] for k in
9             range(i)])) / U[n-i-1][n-i-1]
9     return X

```

---

## Пункт №3: Решение СЛАУ с помощью разработанных функций

Было получено решение СЛАУ (1) с помощью разработанных функций `lu(A)` (Листинг 1) и `solve(L, U, b)` (Листинг 2) :

$x = [-1, 2, 0, 1]^T$ .

Полученное решение СЛАУ сошлось с точным ее решением  $x = [-1, 2, 0, 1]^T$ .

## 2 Продвинутая часть

**Пункт №1. Доказательство необходимости перестановки при решении СЛАУ методом Гаусса.**

Для доказательства была рассмотрена следующая расширенная матрица:

$$\tilde{A} = \left[ \begin{array}{ccc|c} 3 & 1 & -3 & -16 \\ 6 & 2 & 5 & 12 \\ 1 & 4 & -3 & -39 \end{array} \right] \quad (3)$$

На первой итерации метода Гаусса обнуляются элементы столбца под первым элементом главной диагонали. Для этого из все строк с номером больше 1 вычитается первая строка, домноженная на  $\frac{\tilde{a}_{i1}}{a_{11}}$ :

$$a_{ij}^{(1)} = a_{ij} - a_{1j} \frac{a_{i1}}{a_{11}}, i = 2, \dots, n;$$

где  $n$  - размер матрицы.

Матрица после этого принимает следующий вид:

$$\tilde{A} = \left[ \begin{array}{ccc|c} 3 & 1 & -3 & -16 \\ 0 & 0 & 11 & 44 \\ 0 & 3\frac{2}{3} & -2 & -33\frac{2}{3} \end{array} \right]$$

На следующих итерациях необходимо обнулить все элементы под главной диагональю, однако для этого требуется из третьей строки вычесть вторую, домноженную на  $\frac{\tilde{a}_{32}}{a_{22}}$ . Диагональный элемент  $a_{22}$  был обнулен, следовательно дальнейшие действия невозможны. Для продолжения решения СЛАУ (2) методом Гаусса необходима перестановка строк матриц таким образом, чтобы вторым диагональным элементом стало число не равное нулю (меняем местами 2 и 3 строку). Вторая и третья строки расширенной матрицы (3) были переставлены между собой:

$$\tilde{A} = \left[ \begin{array}{ccc|c} 3 & 1 & -3 & -16 \\ 0 & 3\frac{2}{3} & -2 & -33\frac{2}{3} \\ 0 & 0 & 11 & 44 \end{array} \right];$$

Тогда решение СЛАУ:

$$x = [1, -7, 4]^T \quad (4)$$

#### Пункт №2,3,4: Программная реализация решения СЛАУ с возможностью частичного выбора главного элемента

Для решения некоторых СЛАУ требуется делать перестановку строк, что не учитывало наше решение при реализации функции  $\text{lu}(A)$ . Подобные перестановки можно учесть, используя матрицу перестановок  $P$ , которая образуется с помощью перестановки строк единичной матрицы  $E$ . При домножении матрицы  $P$  на матрицу  $A$  справа получается преобразованная матрица, которая учитывает все необходимые перестановки. Следовательно LU-разложение матрицы  $A$  находится следующим образом:

$$PA = LU.$$

Тогда LU-разложение с частичным выбором главного элемента будет производиться за счет перестановки строк матрицы  $A$  так, что диагональным элементом становится наибольший по модулю элемент  $k$ -го столбца:

$$|a_{kk}^{(k)}| = \max_{2 \leq i \leq n} |a_{ik}^{(k)}|.$$

Перестановки будут фиксироваться в соответствующей матрице перестановок  $P$ . Алгоритм программной реализации LU-разложения с возможностью частичного выбора главного элемента является модифицированным алгоритмом из 1-го пункта базовой части. На каждой  $i$ -той итерации перед преобразованием элементов с помощью раннее указанного алгоритма, следует провести поиск опорного (максимального по модулю) элемента среди элементов  $i$ -того столбца, находящихся не выше  $i$ -той строки. После этого строка с максимальным по модулю элементом меняется местами с  $i$ -той строкой. Аналогичные перестановки выполняются и со строками матрицы  $P$ . В Листинге 3 представлена программная реализация модифицированной функции `lu(A, permute)`, которая возвращает треугольные матрицы  $L$ ,  $U$  и матрицу перестановок  $P$ .

Листинг 3. Программная реализация LU-разложения с возможностью частичного выбора главного элемента

---

```

1 def lu_perm(A: list, permute: bool):
2     n = len(A)
3     C = np.array(A.copy())
4     P = np.array([np.array([0*(abs(i-j)) for j in range(n)]) for i in range(n)],
5                   dtype=np.float64)
6     for i in range(n):
7         max_abs = 0
8         max_row = -1
9         for j in range(i, n):
10             if(abs(C[j][i]) > max_abs):
11                 max_abs = abs(C[j][i])
12                 max_row = j
13         if(max_abs!=0):
14             if(permute):
15                 P[[max_row, i]] = P[[i, max_row]]
16                 C[[max_row, i]] = C[[i, max_row]]
17             for j in range(i+1, n):
18                 C[j][i] /= C[i][i]
19                 for k in range(i+1, n):
20                     C[j][k] -= C[j][i] * C[i][k]
21     U = np.triu(C)
22     L = np.tril(C, -1)
23     return L, U, P

```

---

LU-разложение может производиться как с частичным выбором главного элемента, так и без него. Поэтому необходимо в функцию `solve(L, U, b)`, представленную в Листинге 2, передавать еще и матрицу перестановок  $P$ . В таком случае решение СЛАУ будет находиться по следующей формуле:

$$PAx = Pb.$$

Программная реализация модифицированной функции `solve(L, U, P, b)` представлена в Листинге 4. Функция принимает на вход матрицу  $b$ , нижнюю и верхнюю треугольные

матрицы  $L$  и  $U$ , полученные в результате работы функции  $\text{lu}(A, \text{permute})$ , а так же матрицу перестановок  $P$ . В результате своей работы функция возвращает матрицу решений  $x$ .

Листинг 4. Программная реализация решения СЛАУ с использованием матрицы перестановок  $P$

---

```

1 def solve(L, U, P, b):
2     n = len(b)
3     X = np.zeros(n, dtype=np.float64)
4     Y = np.zeros(n, dtype=np.float64)
5     b = P.dot(b)
6     for i in range(n):
7         Y[i] = b[i] - sum([L[i][k] * Y[k] for k in range(i)])
8     for i in range(n):
9         summa = sum([U[n - i - 1][n - k - 1] * X[n - k - 1] for k in range(i)])
10        y = Y[n - i - 1]
11        X[n - i - 1] = (y - summa) / U[n - i - 1][n - i - 1]
12    return X

```

---

В результате разработки функции  $\text{solve}(L, U, P, b)$ , представленной в Листинге 4, было получено решение СЛАУ (2):

$$\hat{x} = [1, -7, 4]^T. \quad (5)$$

Данное решение сошлось с решением (4).

### Пункт №5: Доказательство, что модифицированная и не модифицированная СЛАУ имеют одинаковое решение

Модифицированная СЛАУ (2) имеет следующий вид:

$$\begin{bmatrix} 3 + \lambda & 1 & -3 \\ 6 & 2 & 5 \\ 1 & 4 & -3 \end{bmatrix} \begin{bmatrix} x_1 \\ x_2 \\ x_3 \end{bmatrix} = \begin{bmatrix} -16 + \lambda \\ 12 \\ -39 \end{bmatrix}, \lambda = 10^{-p}, p \in N. \quad (6)$$

Данную СЛАУ можно переписать в виде системы уравнений:

$$\begin{cases} (3 + \lambda)x_1 + 1x_2 - 3x_3 = -16 + \lambda \\ 6x_1 + 2x_2 + 5x_3 = 12 \\ 1x_1 + 4x_2 - 3x_3 = -39 \end{cases} \quad (7)$$

Выражение  $x_1$  через  $x_2$  и  $x_3$ :

$$\begin{cases} x_1 = \frac{-16 + \lambda - x_2 + 3x_3}{3 + \lambda} \\ 6x_1 + 2x_2 + 5x_3 = 12 \\ x_1 + 4x_2 - 3x_3 = -39 \end{cases} \quad (8)$$



Подстановка  $x_1$  выраженного в системе(8) в оставшиеся уравнения этой системы:

$$\begin{cases} x_1 = \frac{-16+\lambda-x_2+3x_3}{3+\lambda} \\ \frac{6(-16+\lambda-x_2+3x_3)}{3+\lambda} + 2x_2 + 5x_3 = 12 \\ \frac{-16+\lambda-x_2+3x_3}{3+\lambda} + 4x_2 - 3x_3 = -39 \end{cases} \quad (9)$$

$$\begin{cases} x_1 = \frac{-16+\lambda-x_2+3x_3}{3+\lambda} \\ -96 + 6\lambda + x_2(-6 + 6 + 2\lambda) + x_3(18 + 15 + 5\lambda) = 12(3 + \lambda) \\ -16 + \lambda + x_2(-1 + 12 + 4\lambda) + x_3(3 - 9 - 3\lambda) = -39(3 + \lambda) \end{cases} \quad (10)$$

$$\begin{cases} x_1 = \frac{-16+\lambda-x_2+3x_3}{3+\lambda} \\ x_2 \cdot 2\lambda + x_3(33 + 5\lambda) = 132 + 6\lambda \\ x_2(11 + 4\lambda) + x_3(-6 - 3\lambda) = 23 + 40\lambda \end{cases} \quad (11)$$

Выражение  $x_2$  через  $x_3$  из второго уравнения системы(11):

$$\begin{cases} x_1 = \frac{-16+\lambda-x_2+3x_3}{3+\lambda} \\ x_2 = \frac{-x_3(33+5\lambda)+132+6\lambda}{2\lambda} \\ x_2(11 + 4\lambda) + x_3(-6 - 3\lambda) = 23 + 40\lambda \end{cases} \quad (12)$$

Подстановка  $x_2$  выраженного в системе(13) в оставшееся уравнение:

$$\begin{cases} x_1 = \frac{-16+\lambda-x_2+3x_3}{3+\lambda} \\ x_2 = \frac{-x_3(33+5\lambda)+132+6\lambda}{2\lambda} \\ \frac{(-x_3(33+5\lambda)+132+6\lambda)(11+4\lambda)}{2\lambda} + x_3(-6 - 3\lambda) = 23 + 40\lambda \end{cases} \quad (13)$$

Вид системы(13) после упрощения:

$$\begin{cases} x_1 = \frac{-16+\lambda-x_2+3x_3}{3+\lambda} \\ x_2 = \frac{-x_3(33+5\lambda)+132+6\lambda}{2\lambda} \\ x_3(-26\lambda^2 - 199\lambda - 363) = -104\lambda^2 - 796\lambda - 1452 \end{cases} \quad (14)$$

Выразим  $x_3$ :

$$\begin{cases} x_1 = \frac{-16+\lambda-x_2+3x_3}{3+\lambda} \\ x_2 = \frac{-x_3(33+5\lambda)+132+6\lambda}{2\lambda} \\ x_3 = \frac{-104\lambda^2-796\lambda-1452}{-26\lambda^2-199\lambda-363} = 4 \end{cases} \quad (15)$$

Подставка полученного значения  $x_3$  в системе(15) в другие уравнения системы:

$$\begin{cases} x_1 = 1 \\ x_2 = -7 \\ x_3 = 4 \end{cases}$$

Следовательно, решение модифицированной СЛАУ имеет следующий вид:

$$\tilde{x} = [1, -7, 4]^T. \quad (16)$$

Таким образом, модифицированная СЛАУ имеет то же решение, что и СЛАУ без изменений  $a_{11}$  и  $b_1$ .

### Пункт №6: Решение модифицированной СЛАУ с частичным выбором главного элемента и без него

С помощью разработанных функций  $\text{lu}(A, \text{permute})$  и  $\text{solve}(L, U, P, b)$ , представленных в Листингах 3 и 4, были получены следующие решения модифицированной СЛАУ (6) в зависимости от  $p \in 0, \dots, 12$  и значения переменной  $\text{permute}$  для двух случаев:

- без частичного выбора главного элемента ( $\text{permute}=\text{False}$ ),
- с частичным выбором главного элемента ( $\text{permute}=\text{True}$ ).

В Таблице 1 представлены решения, полученные без частичного выбора главного элемента.

Таблица 1. Решения модифицированной СЛАУ (6) для  $p \in [0; 12]$  без частичного выбора главного элемента

$p$	$\tilde{x}_1$	$\tilde{x}_2$	$\tilde{x}_3$
0	1.0000000000000000	-7.0000000000000000	4.0000000000000000
1	1.0000000000000022	-7.0000000000000036	4.0000000000000009
2	0.9999999999995326	-6.9999999999985967	3.999999999999987
3	0.999999999999999	-7.0000000000000000	4.0000000000000000
4	0.9999999999996699	-6.9999999999900080	4.0000000000000000
5	0.9999999999955911	-6.99999999998667723	4.0000000000000000
6	0.9999999997224419	-6.99999999916733247	4.0000000000000000
7	1.0000000233146848	-7.0000000699440532	4.0000000000000009
8	1.0000002331468394	-7.0000006994405179	4.0000000000000009
9	1.0000000000000000	-7.0000000000000000	4.0000000000000000
10	0.9999822364330750	-6.9999467092992269	3.9999999999999991
11	1.0000888178346223	-7.0002664535038637	4.0000000000000009
12	0.9967809967809971	-6.9903429903429908	3.9999999999999996

В таблице 2 представлены решения, полученные с частичным выбором главного элемента.

Таблица 2. Решения модифицированной СЛАУ (7) для  $p \in [0; 12]$  с частичным выбором главного элемента

$p$	$\tilde{x}_1$	$\tilde{x}_2$	$\tilde{x}_3$
0	1.0000000000000002	-7.0000000000000009	4.0000000000000000
1	1.0000000000000002	-7.0000000000000009	4.0000000000000000
2	0.9999999999999994	-7.0000000000000000	4.0000000000000009
3	1.0000000000000002	-7.0000000000000009	4.0000000000000000
4	1.0000000000000011	-7.0000000000000018	3.9999999999999996
5	1.0000000000000002	-7.0000000000000009	4.0000000000000000
6	0.9999999999999994	-7.0000000000000000	4.0000000000000009
7	1.0000000000000002	-7.0000000000000009	4.0000000000000000
8	1.0000000000000011	-7.0000000000000018	3.9999999999999996
9	1.0000000000000002	-7.0000000000000009	4.0000000000000000
10	1.0000000000000002	-7.0000000000000009	4.0000000000000000
11	1.0000000000000002	-7.0000000000000009	4.0000000000000000
12	1.0000000000000002	-7.0000000000000009	4.0000000000000000

Сравнивая результаты решений с частичным выбором главного элемента и без для разных  $p$ , которые представлены в таблицах 1 и 2 можно сделать вывод: решения, полученные с применением частичного выбора главного элемента, являются точными, их погрешности сопоставимы с машинным epsilon. Однако в решение без частичного выбора наблюдаются видимые неточности.

### Пункт №7: График зависимости относительной погрешности вычисления $E$ от $p$

По полученным данным таблицы 1 и 2 получен график зависимости  $E$  от  $p$ , где  $E$  равен:

$$E = \frac{\|\hat{x} - \tilde{x}\|_{\infty}}{\|\hat{x}\|_{\infty}}.$$

Зависимость относительной погрешности вычислений от  $p$  показана на рисунке 1.

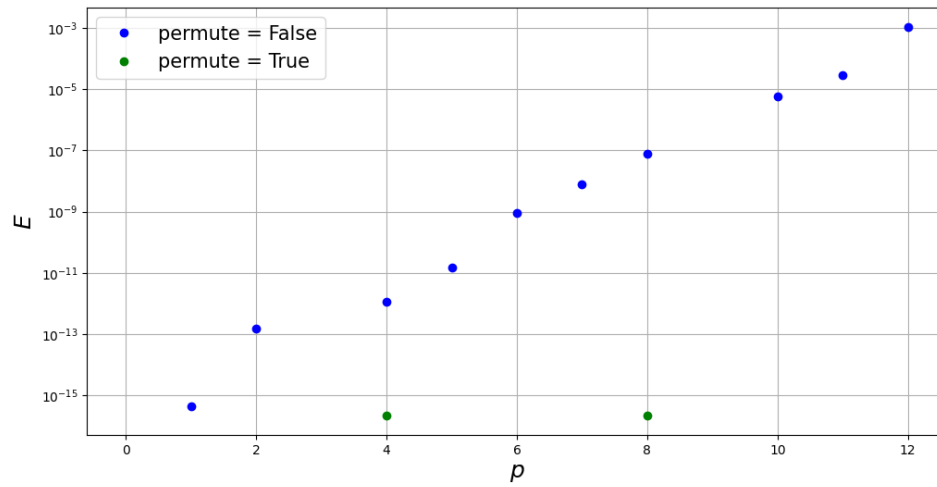


Рис. 1. График зависимости относительной погрешности вычислений от  $p$

Для более наглядного представления взяты 100 линейно распределенных точек из отрезка  $p \in [0; 12]$ . Графики приведены на рисунке 2.

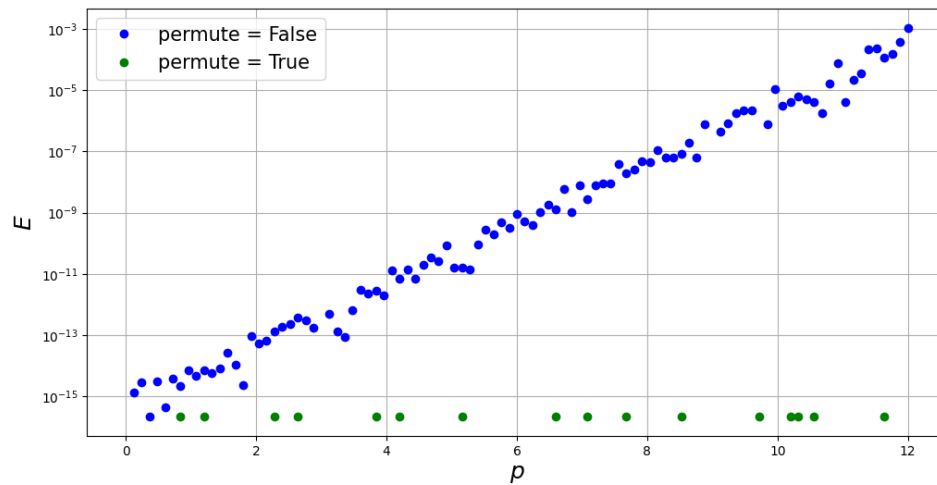


Рис. 2. График зависимости относительной погрешности вычисления  $E$  от  $p$

В соответствии с графиками представленными на рисунке 1 и 2 можно сделать следующие выводы:

1. Относительная погрешность при решении с частичным выбором главного элемента равна нулю либо сопоставима с машинным эпсилон. Следовательно данный метод является вычислительно устойчивым;

2. Относительная погрешность при нахождении решения без частичного выбора главного элемента является вычислительно неустойчивой, так как наблюдается стремительное увеличение погрешности при увеличении  $p$ .

При решении СЛАУ на  $k$ -й итерации возможно деление одного элемента на элемент, который много меньше первого. Из этого следует появление существенной погрешности, и дальнейшее умножение на результат их деления, который принимает большое значение.

Решение СЛАУ с частичным выбором главного элемента показывает большую точность, однако меньшую скорость работы программы. Следовательно в некоторых задачах следует использовать решение более быстрое СЛАУ без частичного выбора главного элемента, который однако может привести к неправильному решению вследствие высокой погрешности.

## Заключение

1. Были разработаны функции нахождения LU-разложения с матрицей перестановок  $P$  и без нее;
2. Были разработаны функции решения с помощью функций для LU-разложения;
3. Дана оценка вычислительной устойчивости разработанных функций;
4. Доказано, что модифицированная СЛАУ имеет то же решение, что и СЛАУ без добавления  $10^{-p}$  к элементам матрицы  $A$ .



## Список использованных источников

1. Першин А.Ю. Лекции по курсу «Вычислительная математика». Москва, 2018-2021. С. 140. URL: <https://archrk6.bmstu.ru/index.php/f/810046>.
2. Соколов, А.П. Инструкция по выполнению лабораторных работ (общая). Москва: Соколов, А.П., 2018-2021. С. 9. URL: <https://archrk6.bmstu.ru>. (облачный сервис кафедры РК6).
3. Соколов, А.П. Инструкция по выполнению заданий к семинарским занятиям (общая). Москва: Соколов, А.П., 2018-2022. С. 7. URL: <https://archrk6.bmstu.ru>. (облачный сервис кафедры РК6).
4. Першин А.Ю. Сборник задач семинарских занятий по курсу «Вычислительная математика»: Учебное пособие. / Под редакцией Соколова А.П. [Электронный ресурс]. Москва, 2018-2021. С. 20. URL: <https://archrk6.bmstu.ru>. (облачный сервис кафедры РК6).
5. Першин А.Ю., Соколов А.П. Сборник постановок задач на лабораторные работы по курсу «Вычислительная математика»: Учебное пособие. [Электронный

ресурс]. Москва, 2021. С. 54. URL: <https://archrk6.bmstu.ru>. (облачный сервис кафедры РК6).

## Выходные данные

Новокишанов Е.А. Отчет о выполнении лабораторной работы по дисциплине «Вычислительная математика». [Электронный ресурс] — Москва: 2022. — 14 с. URL: <https://sa2systems.ru:88> (система контроля версий кафедры РК6)

Постановка:  доцент кафедры РК-6, PhD А.Ю. Першин  
Решение и вёрстка:  студент группы РК6-56Б, Новокишанов Е.А.

2022, осенний семестр